

蝎虎天体 PKS 0735+178 的光变特性分析

余莲, 张雄, 王文广, 罗双玲

(云南师范大学物理与电子信息学院, 云南 昆明 650500)

摘要: 在收集大量数据的基础上, 用时间补偿离散傅里叶变换、Jurkevich 方法和离散相关分析法分析了 PKS 0735+178 的 B 波段和 V 波段光变周期, 发现该天体具有年的光变周期, 其中心黑洞质量的下限为。

关键词: PKS 0735+178; DCF 方法; Jurkevich 方法; DCF 方法; 光变周期; 黑洞质量

中图分类号: P1 文献标识码: A 文章编号: 1672-7673

BL Lac 天体是活动星系核中一个重要的子类, BL Lac 天体在观测上表现出高光度、高偏振、快速光变以及非热辐射等特征^[1-2], BL Lac 天体具有长周期光变和短时标光变^[3-5], 通过观测和研究 BL Lac 天体不同的光变时标能获得天体的中心黑洞质量、辐射区域及内部结构参数等^[6-7]。因此, 研究该天体的光变周期非常重要。

BL Lac 天体 PKS 0735+178 是一颗红移为 0.424 的耀变体^[8], 它具有平射电谱和射电爆、剧烈的光变、高偏振及超光速运动等性质^[9], 不发出或仅发出微弱和间断的发射线^[10]。众所周知, 分析 PKS 0735+178 光变周期的方法很多, 但是有些方法误差极大, 对观测数据的连续性有极高的要求, 并不适合周期性研究, 而 BL Lac 型天体由于观测特征表明无发射线^[1], 要通过光谱观测获取光谱线, 并用其研究中心黑洞质量等内部结构参数是不可能的^[2-3]。本文主要使用时间补偿离散傅里叶变换、离散相关分析法和 Jurkevich 3 种方法对 B 波段和 V 波段的光变周期进行研究, 并对比分析这 3 种方法, 其中时间补偿离散傅里叶变换和离散相关分析法是初次用于研究 PKS 0735+178 的光变周期, 这两种方法对观测数据的连续性要求低、结果准确, 而 Jurkevich 方法在文[9]中用过, 并且它要求观测数据的时间序列长、连续性强。

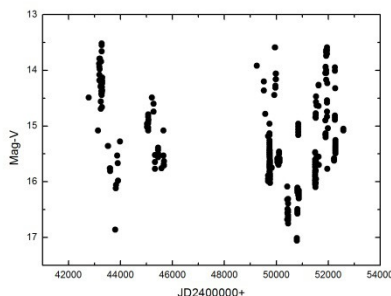
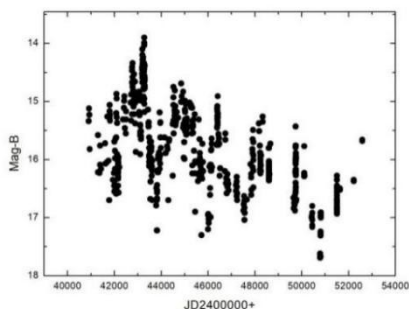
1 样本和光变曲线

本文研究的数据从文[11-18]获取, 收集从 1970 年到 2002 年期间 PKS 0735+178 光学 B 波段和 V 波段的观测数据。图 1 和图 2 分别为 B 波段和 V 波段的光变曲线。从光变曲线可以看出: PKS 0735+178 在光学波段活动非常激烈, 在近 30 年的观测中, B、V 波段的最大变化近 3.5 个星等, 由于受观测条件的限制, 光变曲线数据不连续, V 波段将近 9 年没有数据, 使周期性分析受到限制。

*基金项目: 国家自然科学基金(11663009)资助; 云南省高校高能天体物理重点实验室资助。

作者简介: 余莲, 女, 硕士研究生. 研究方向: 活动星系核. Email: 1261773081@qq.com.

通讯作者: 张雄, 男, 教授. 研究方向: 活动星系核. Email: ynzx@yeah.net



2 周期分析

2.1 时间补偿离散傅里叶变换分析 PKS 0735+178 的光变周期

时间补偿离散傅里叶变换方法是计算光变周期最常用的方法之一，文[19]用该方法分析 PKS 1510-089 红外光变周期,通过对、作 Gram-Schmidt 正交化，得到 3 个正交向量，将数据投影到 3 个正交向量上就得到了频谱：

(1)

(2)

(3)

正交化后：

(4)

(5)

(6)

对于均匀采样的数据，这个过程对应于用三维“正弦+常数”模型进行曲线拟合。如果周期大于采样时间，且时间序列足够长，覆盖所有的相位，则有

(7)

功率谱强度为：

(8)

其中,为离散傅立叶变换的功率谱。在不均匀采样的情况下，是加权的时间补偿离散傅立叶变换：

(9)

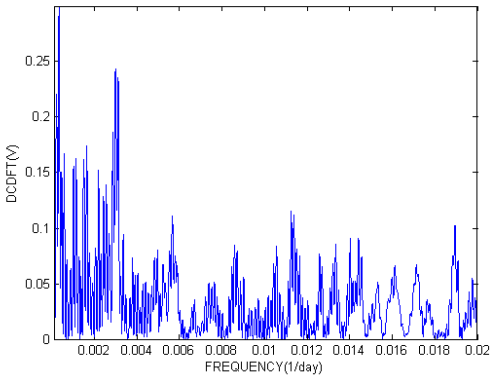
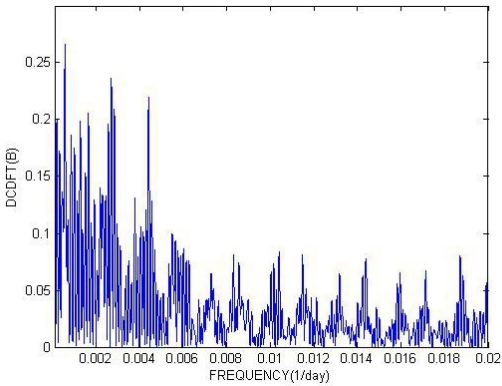
在许多蝎虎天体的观测中，观测数据的精度各不相同。考虑到这个问题，引进权重方程重新定义内积：

(10)

频率处的强度由下式给出：

(11)

由线性回归理论可知,,其中。利用这一性质，引进标准化因子：统计量,称这一量为谱相关系数，对于所有频率，。



应用上述方法获得 PKS 0735+178 的 B 波段和 V 波段周期图, 由图 3、图 4 可知, B 波段存在 0.62 年、1.01 年、1.67 年、4.72 年的光变周期信息, V 波段存在 0.58 年、1.07 年、1.67 年 4.72 年的光变周期信息, 按文[19]中的判据, B 波段存在 1.01 年和 V 波段存在 1.07 年光变周期信息的可靠性最大, 而 B 和 V 波段存在 4.72 年次之.但考虑到平均时标为年的周期很可能是由于地球绕太阳所致,则光变周期 B 波段为 4.72 年, V 波段为 4.72 年.

2.2 Jurkevich 分析周期

Jurkevich 基于对天文测量中的非均匀测量问题提出的一种统计法^[20], 如果观测样本数据为 N 个, 为单次测量值, 为所有测量值的平均值, 为测量数据的方差, 为测量数据样本的标准偏差.则有

(12)

(13)

(14)

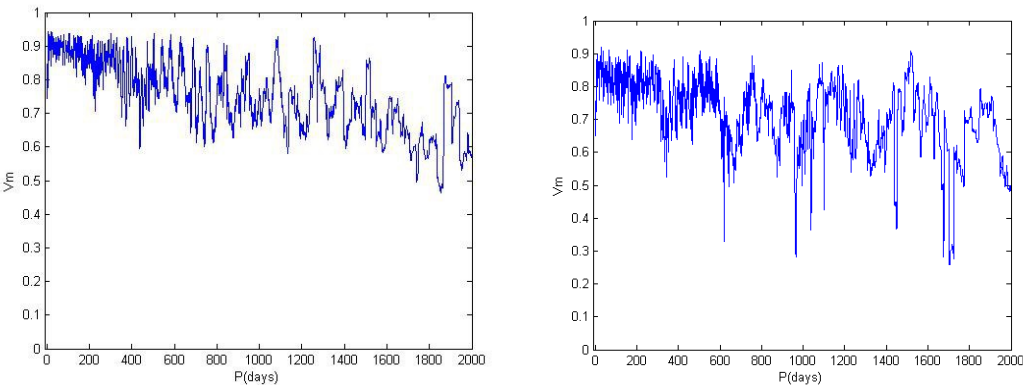
如果样本数据划分为 m 组, 对应第 l 组的统计参数为

(15)

(16)

(17)

对应 m 组的总方差为: (18)



应用上述 Jurkevich 方法获得 PKS 0735+178 的 B 和 V 波段-图, 由图 5、图 6 可以看出, 对应于的最小值, B 波段存在 1.02 年、1.20 年、1.66 年、4.77 年的光变周期, V 波段周期存在 0.94 年、1.71 年、2.82 年、3.97 年的光变周期。根据光变周期存在的判据^[20], B 波段存在 1.02 年和 V 波段存在 0.94 年光变周期信息的可靠性最大,而 B 波段存在 4.77 和 V 波段存在 3.97 年次之.但考虑到平均时标为年的周期很可能是由于地球绕太阳所致,则 B 波段存在 4.77 年周期, V 波段存在 3.97 年周期。

2.3 离散相关分析法分析

离散相关分析法是用来分析两组离散数据相关性的方法之一^[21-23],文[24]用此方法分析 BL Lac 天体 PKS 0537-441 的光变特性^[24], 该方法最大的特点是不需要对数据做任何处理, 就能判断出两组数据的相关性。该方法的具体的步骤如下:

首先计算两组数据的离散相关函数值。如数组和, 则离散相关函数值为:

(19)

和分别为两组数据的平均值; 分别为对应的标准偏差。

其次计算 DCF(τ)值。通过时间延迟把两组数联系起来, 假如时间延迟为 τ , 在区间中有 M

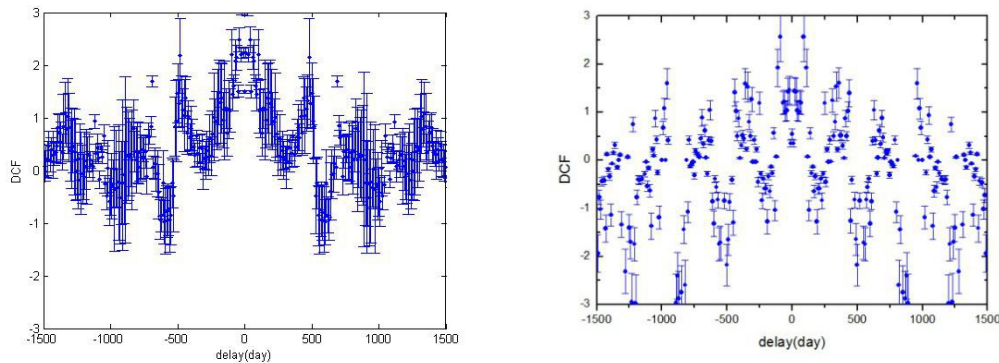
个. 则 $DCF(\tau)$ 值为

$$. \quad (20)$$

再次离散相关函数的误差为

$$. \quad (21)$$

对于所得到的离散相关图, 如果峰值在零的右面, 表明数组早于数组的变化。反之, 数组就会迟于数组。



通过使用离散相关函数对 PKS 0735+178 的 B 波段图像进行分析, 所得结果如图 7、8, 从图中得到 B 波段周期存在 1.21 年、2.27 年、3.62 年、3.81 年的光变周期信息, V 波段存在周期 1.21 年、2.22 年、3.15 年、4.00 年的光变周期信息。根据离散相关示数分析周期的方法^[21-23], B 和 V 波段存在 1.21 年光变周期信息的可靠性最大, 而 B 波段存在 4.77 和 V 波段存在 3.97 年次之。但考虑到平均时标为年的周期很可能是由于地球绕太阳所致, 则 PKS 0735+178B 波段的周期为 3.81 年, V 波段的周期为 4.00 年。

3 讨论与结论

本文主要收集了 PKS 0735+178 的光变数据, 运用时间补偿离散傅里叶法变换、Jurkevich 方法和离散相关分析法 3 种方法分析 PKS 0735+178 的光变周期, 时间补偿离散傅里叶法变换法分析 B 波段得到的周期大致为, V 波段周期为; Jurkevich 方法分析得到 B 波段的周期大致为 1740 天, V 波段的周期大致为 1450 天; DCF 方法分析的得到 B 波段的周期大致为 1390 天, V 波段的周期大致为 1460 天。由此可得出, BL Lac 天体 PKS 0735+178 的光变周期为。这与文[25]和文[11]用其他方法研究结果基本一致。根据周期分析获得的 PKS 0735+17 的周期, 我们利用薄吸积盘理论^[3]来分析该蝎虎天体 PKS 0735+178 的中心黑洞质量和薄吸积盘的热不稳定性发生的区域。一般情况下, 热有限循环周期性取决于粘滞度参数, 中心黑洞质量为和广义应力张量参数, 因此爆发时间为

$$, \quad (22)$$

其中, 为粘滞系数; 以倍太阳质量为单位; 为 PKS 0735+178 的中心黑洞质量。

由于目前吸积盘粘滞度的起源和特性都还不清楚, 用磁流体力学对其讨论是一种常用的方法, 文[26]提出如果磁场的逃逸率比较低, 可以认为, 使用这个参数值, 长周期爆发时间大约为, 即

$$, \quad (23)$$

对于 PKS 0735+178, 如果, 分析获得的周期是, 可以得出其中心黑洞质量为, 这个中心黑洞质量对于 PKS 0735+178 来说太小, 由于利用薄吸积盘理论分析方法考虑黑洞的自旋, 所以中心黑洞质量偏小, 但蝎虎天体的观测特性表明, 这类天体在光谱观测中无发射线^[10], 作为深入研究该类天体给出了黑洞质量的下限也是有意义的, 在今后的 CCD 测光观测中寻找短时标光变, 从而获得中心黑洞质量, 与之做进一步比较。

从图上也可看出不同的方法周期性的明显程度也不一样。时间补偿离散傅里叶变换法可以运用到天体数据处理上,可以有效地处理不均匀的天文数据,克服传统的傅里叶变换带来的伪周期,时间补偿离散傅里叶变换法通过施密特正交化,有效地解决由于、和 3 个向量不正交而带来伪信号的问题^[27]。用离散相关性函数对 PKS 0735+178 天体的 B 波段和 V 波段相关性分析,从图中可以看出它们之间存在很强的相关性,表明它们之间的辐射起源是相似的^[24]。

另外,在光变周期信息分析中,注意到年这个结果可能和一年的观测周期有关,这个周期可能是由于有规律的观测时间间隔导致的^[28],平均时标为年的周期很可能是由于地球绕太阳所致^[29]。当然,也可能是天体 PKS 0735+178 的真实光变周期,其他光变周期信息是这个周期的 N 倍 ($N=1, 2, 3, \dots$)^[30]。这个周期的研究^[30],对今后的观测有指导意义。将通过实测和更多的观测证明天体 PKS 0735+178 的光变周期。

参考文献:

- [1]Dondi L, Ghisellini G. Gamma-ray-loud blazars and beaming[J]. Monthly Notices of the Royal Astronomical Society, 1995, 273(3): 583-595.
- [2]刘云, 张雄, 郑永刚, 等. Blazar 天体的光变和偏振[J]. 物理学报, 2007, 56(9): 5558-5563.
Liu Yun, Zhang Xiong, Zheng Yonggang, et al. Polarization and variations of Blazar[J]. Acta Physica Sinica, 2007, 56(9): 5558-5563.
- [3]Zhang X, Xie G Z, Bai J M. A historical light curve of 3C 345 and its periodic analysis[J]. Astronomy and Astrophysics, 1998, 330: 469-473.
- [4]Zhang X, Zheng Y G, Zhang H J, et al. CCD photometry and optical variability of the BL Lacertae object H0323+ 022[J]. The Astrophysical Journal Supplement Series, 2008, 174(1): 111-116.
- [5]Zhang X, Zheng Y G, Zhang L, et al. Optical CCD photometry of the variability of the BL Lacertae object ON231 in a low state[J]. Publications of the Astronomical Society of Japan, 2008, 60(2): 145-160.
- [6]Xie G Z, Bai J M, Zhang X, et al. The massive black hole in the center of the active galaxy MRK 421[J]. Astronomy and Astrophysics, 1998, 334: L29-L31.
- [7]Zhang X, Zhao G, Zheng Y G, et al. CCD photometry and optical variability of gamma-ray-loud BL Lacertae object OJ 287 in a low, fainter state[J]. The Astronomical Journal, 2007, 133(5): 1995-2000.
- [8]Carswell R F, Strittmatter P A, Williams R E, et al. Optical observations of the radio source 0735+178[J]. The Astrophysical Journal, 1974, 190: L101-L104.
- [9]丁世学, 贺长剑. BL Lac 天体 PKS 0735+178 的光变周期分析[J]. 襄樊学院学报, 2003, 24(2): 3-6.
Ding Shixue, He Changjian. The periodicity analysis of the light variability of BL Lacertae object PKS 0735+178 by using Jurkevich method[J]. Journal of Xiang fan University, 2003, 24(2): 3-6.
- [10]董云明. BL Lac 天体的辐射机制与分类[D]. 昆明: 中国科学院国家天文台云南天文台, 2003.
- [11]Webb J R, Smith A G, Leacock R J, et al. Optical observations of 22 violently variable extragalactic sources-1968-1986[J]. The Astronomical Journal, 1988, 95: 374-397.
- [12]Pollock J T, Pica A J, Smith A G, et al. Long-term optical variations of 20 violently variable extragalactic radio sources[J]. The Astronomical Journal, 1979, 84: 1658-1676.
- [13]Xie G Z, Li K H, Zhang Y H, et al. Simultaneous multi-range observations and detection of rapid variability of BL Lacertae objects [J]. Astronomy and Astrophysics Supplement Series, 1994, 106: 361-372.
- [14]Xie G Z, Li K H, Zhang X, et al. Optical monitoring sample of the GeV gamma-ray-loud blazars[J]. The Astrophysical Journal, 1999, 522(2): 846-862.
- [15]Bai J M, Xie G Z, Li K H, et al. Photometric monitoring of three BL Lacertae objects in 1993-1998[J]. Astronomy and Astrophysics Supplement Series, 1999, 136(3): 455-460.
- [16]Schaefer B E. A search for rapid Variability in eight quasars and BL Lacertae objects [J]. Publications of the Astronomical Society of the Pacific, 1980, 92(547): 255-258.
- [17]Qian B, Tao J. Optical monitoring of PKS 0735+178 from 1995 to 2001 and its historical periodic light curve[J]. Publications of the Astronomical Society of the Pacific, 2004, 116(816): 161-169.

- [18] Zhang X, Zhang L, Zhao G, et al. Optical monitoring of three gamma-ray-loud BL Lacertae objects in 1999-2002[J]. The Astronomical Journal, 2004, 128(5): 1929-1941.
- [19] 罗双玲, 张雄, 王文广. 时间补偿离散傅里叶变换分析 PKS 1510-089 红外光变周期[J]. 云南师范大学学报: 自然科学版, 2016, 36(5): 1-4.
- Luo Shuangling, Zhang Xiong, Wang Wenguang. The optical variability periodicity analysis of PKS 1510-089 based on date compensated discrete fourier transform[J]. Journal of Yunnan Normal University: Natural Sciences Edition, 2016, 36(5): 1-4.
- [20] Jurkevich I. A method of computing periods of cyclic phenomena[J]. Astrophysics and Space Science, 1971, 13(1): 154-167.
- [21] 高蓉, 杨金雪, 李怀珍. BL Lac 天体 PKS2155-304 光变特性分析[J]. 云南师范大学学报: 自然科学版, 2015, 35(1): 1-4.
- Gao Rong, Yang Jinxue, Li Huaizhen. The variability analysis of BL Lac objects PKS 2155-304[J]. Journal of Yunnan Normal University: Natural Sciences Edition, 2015, 35(1): 1-4.
- [22] Edelson R A, Krolik J H. The discrete correlation function-a new method for analyzing unevenly sampled variability data[J]. The Astrophysical Journal, 1988, 333: 646-659.
- [23] Hufnagel B R, Bregman J N. Optical and radio variability in blazars[J]. The Astrophysical Journal, 1992, 386: 473-484.
- [24] 王文广, 张皓晶, 王雪品, 等. BL Lac 天体 PKS 0537-441 的光变特性分析[J]. 云南师范大学学报: 自然科学版, 2016, 36(4): 1-7.
- Wang Wenguang, Zhang Haojing, Wang Xuepin, et al. The variability analysis of BL Lac objects PKS 0537-441[J]. Journal of Yunnan Normal University: Natural Sciences Edition, 2016, 36(4): 1-7.
- [25] Smith P S, Balonek T J, Elston R, et al. Optical and near-infrared observations of BL Lacertae objects and active quasars[J]. The Astrophysical Journal Supplement Series, 1987, 64: 459-485.
- [26] Horiuchi T, Kato S. A model of hydromagnetic turbulent viscosity in radiation-pressure-dominated disks[J]. Publications of the Astronomical Society of Japan, 1990, 42(5): 661-674.
- [27] 李娟. Blazar 光变研究[D]. 广州: 广州大学, 2007.
- [28] Kidger M, Takalo L, Sillanpaa A. A new analysis of the 11-year period in OJ287-Confirmation of its existence[J]. Astronomy and Astrophysics, 1992, 264: 32-36.
- [29] Liu F K, Xie G Z, Bai J M. A historical light curve of ON 231 and its periodic analysis[J]. Astronomy and Astrophysics, 1995, 295: 1-10.
- [30] Fan J H, Xie G Z, Lin R G, et al. The long-term variability of BL Lac object PKS 0735+178[J]. Astronomy and Astrophysics Supplement Series, 1997, 125(3): 525-528.

The Variability Analysis of PKS 0735+178

Yu Lian, Zhang Xiong, Wang Wen-guang, Luo Shuang-ling

(College of Physics and Electronics, Yunnan Normal University, Kunming 650500, China, Email: ynzx@yeah.net)

Abstract: In this paper, we used the time compensation discrete Fourier transform method and discrete correlation analysis (DCDFT), Jurkevich, DCF model to analyses B band and V band periodicity of the PKS 0735 + 178, based on a large amount of data we have collected. We found that the variability period is about years and the lower limits of the central black hole mass is

Keywords: PKS 0735 + 178; DCDFT method; Jurkevich method; DCF model method; Variability; Black hole mass